

تقدير خطر السيول في حوض وادى سويف باستخدام نموذج سنایدر

علي حمزة عبد الحسين الجوزري

كلية التربية للعلوم الإنسانية / جامعة بابل

hum219.ali.hamiza@uobabylon.edu.iq

٢٠٢٤ / ٦ / ٢٦ تاریخ نشر البحث:

٢٠٢٤/٥/١٤ تاریخ قبول النشر:

٢٠٢٤/٥ / ١ تاریخ استلام البحث:

المُسْتَخْلِص:

الكلمات الدالة: سبول، وادي سوبف، سنابدر ، سرعة الحرثان، قوة السيل.

Estimating the Risk of Floods in the Suez Valley Basin Using Snyder's Model

Ali Hamza Abdul Hussein Al -Jotheri

Department of Geography-College of Education for Human Sciences-University of Babylon

Abstract:

The study aims to estimate the size and discharge of rain flood waves for the Suef valley basin this is done through statistical cartography modeling based on the Snyder model, which is one of the mathematical models that depend on the quantitative approach in hydrological studies, in this study, geological formations and sediments, surface, soil types and vegetation cover were identified, as well as the climatic water balance of the basin, the study found after applying the model that the maximum flow of the torrent in Suef valley basin amounted to about (177.48) m³ / s, the speed of surface runoff has reached approximately (5.51) km / h, the volume of flow of the torrent is about (1.092) million m³ / s, the depth of runoff of the basin has reached (149.6) mm.

Keywords: Seoul, Suef Valley, Snyder, Flow speed, Torrent power.

المقدمة:

إن السيل المائي واحدة من أهم المخاطر التي تصيب البيئة سواء كانت طبيعية أم بشرية الأمر الذي ينجم عنها تحطيم الطبقة العليا للتربة، فضلاً عن الأضرار والخسائر المادية والمالية للبيئة المشيدة، وتحدث السيل بسبب الارتفاع الكبير لكمية التساقط المطري في وقت قليل مما يؤدي إلى جريان سطحي وخصوصاً عند وجود نوعية تربة غير نافذة للمياه، وفي منطقة الدراسة اعتمدنا على نموذج (Snyder) وهو من أبرز النماذج الرياضية لتقدير خطر السيل، لأنه أحد النماذج البسيطة والسهلة التطبيق في بيئه نظم المعلومات الجغرافية، حيث يمكن تطبيقه على أغلب الأحواض المائية وعبره تحدد المناطق المعرضة للسيول ومعرفة حجم وعمق السيول المائي.

مشكلة البحث: تتلخص مشكلة البحث بمجموعة من التساؤلات الآتية: ما العوامل الطبيعية المؤثرة في تكوين

السيول في حوض وادي سويف؟ هل يمكن تقدير حجم المياه السيلية ومعرفة خطر السيول في الحوض؟

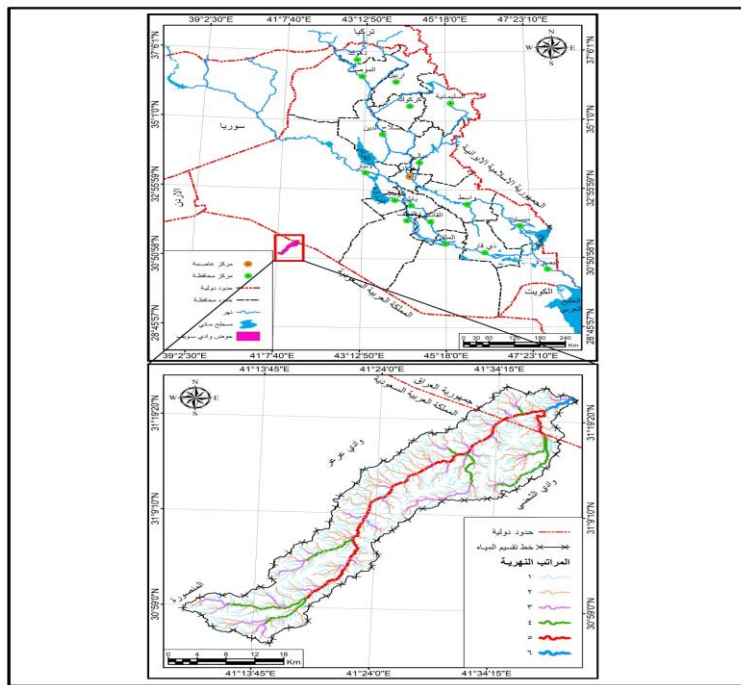
فرضية البحث: إن أهم العوامل التي تؤثر على منطقة الدراسة تمثلت بـ التكوينات والرواسب الجيولوجية، والسطح والتربة والمناخ والغطاء النباتي في تكوين السيول وتباين خطرها في المنطقة، وبالاعتماد على نموذج (Snyder) يمكن تقدير حجم الجريان المائي وعمقه وقوته وخطره في حوض منطقة الدراسة.

هدف البحث: يأتي الهدف من هذه الدراسة لحساب حجم السيول الجارية ومعرفة عميقها ودرجة خطورتها في حوض وادي سويف.

منهجية البحث: اعتمدت الدراسة التحليلي وعلى المنهج الكمي الذي يعتمد بدرجة كبيرة على تطبيق المعادلات الرياضية الخاصة بالنماذج المعتمد في الدراسة.

حدود البحث: يقع جزء من حوض وادي سويف إدارياً في غربي العراق ضمن الهضبة الغربية من محافظة الأنبار، أما أغلب أجزاء الحوض تقع في المملكة العربية السعودية، يحده من جهة الشمال الغربي وادي عرعر ومن جهة الجنوب الشرقي وادي الشضي وعند منابع الحوض منطقة المنصورة، أما فلكياً فإن الحوض يقع بين دائري عرض ("٨° ٥٣' - "٣١° ٥٩') شمالاً، وخطي طول ("١٢° ٧' - "٤١° ٤٢') شرقاً، وتبلغ مساحة الحوض (٧٢٦,٤٢) كم^٢.

الخريطة(١) حدود منطقة البحث



المصدر: (١) الهيئة العامة للمساحة، خريطة الوحدات الإدارية في العراق لعام ١٩٩٩، مقياسها ١:١٠٠٠٠٠٠.

(٢) الهيئة العامة للمساحة العسكرية خريطة (الدبوبية، جديدة عرعر) مقياسها ١:١٠٠,٠٠٠ لسنة ١٩٨٧.

(٣) بالاعتماد على برنامج Arc GIS 10.5

أولاً- الخصائص الطبيعية لحوض وادي سويف:

١- التكوينات والرواسب الجيولوجية: تتأثر منطقة الدراسة بالتاريخ التكتوني للعراق على الرغم من أن أغلب أجزاء الحوض تقع خارج حدود العراق فان المنطقة تقع ضمن الرصيف المستقر الذي يتميز بقلة وجود الطيات المحدبة ويتبين من الجدول (١) والخريطة(١) وجود العديد من التكوينات والرواسب الجيولوجية يمكن تناولها بالأعلى:

١,١- تكوين أم رضمة: يشغل هذا التكوين مساحة تبلغ (٦٨٢,٦٢) كم٢، وبنسبة بلغت نحو (٩٣,٩٪) من مساحة الحوض الكلية البالغة (٧٢٦,٤٢) كم٢ يتواجد هذا التكوين في أغلب أجزاء المنطقة.

١,٢- تكوين طيارات: يمتد هذا التكوين بشكل شريطي عند منطقة مصب الحوض بالقرب من الحدود العراقية السعودية، حيث تبلغ مساحته نحو (٢٥,٩٠) كم٢، وبنسبة قدرت نحو (٦٪) من مساحة الحوض.

١,٣- رواسب ملء المنخفضات: تنتشر هذه الرواسب في أجزاء قليلة في حوض الدراسة وهي تتركز بالقرب من الحدود العراقية السعودية إذ تبلغ مساحتها ما يقارب (٧,٣٧) كم٢، ونسبتها (٦٪) من مجموع مساحة الحوض وتعد أقل النسب للرواسب سجلت في المنطقة، التي تميز بتكويناتها الحصوية والغرينية ذات سمك مختلف من فيضة إلى أخرى.

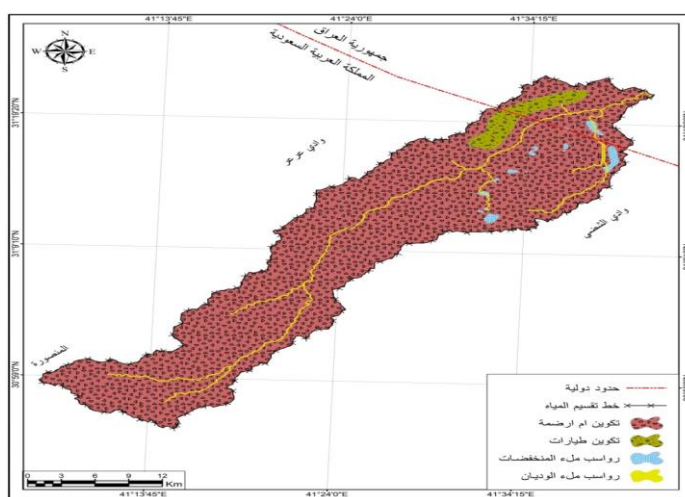
- ٤،١ رواسب ملء الوديان: تمتد هذا الرواسب بشكل شرطي مع الشبكة الرئيسية لحوض وادي سويف وهي رواسب تكونت بسبب تعرية المياه وهي مكونة من الحصى والرمل والغرين وبسمك مختلف حسب درجة انحدار الحوض، تشغل مساحة قدرها (١٠,٥٣) كم٢، وبنسبة بلغت نحو (١٠,٥%) من مساحة الحوض.
- ٤،٢ السطح: حوض وادي سويف يقع غربي العراق جزء منه ضمن الهضبة الغربية العراقية التي تتميز بالارتفاع التدريجي باتجاه الغرب، يتبع من الجدول (٢) والخريطة (٣) أن أعلى ارتفاع بلغ نحو (٥٧٠) م، في حين بلغ أقل ارتفاع (٣٨٠) م، ولتوسيع هذا التباين في الارتفاع قسمت منطقة الدراسة إلى خمسة فئات يمكن تناولها بالأتي:
- ٤،١،١ الفئة الأولى: يبلغ ارتفاع هذه الفئة بين (٣٨٠ - ٤٢٠) متر، التي تقع عند نهاية الحوض وهي أقل الفئات ارتفاعاً بلغ مساحتها (١٣٢,٦٣) كم٢ وبنسبة (١٨,٢٦%) من مساحة الحوض.
- ٤،١،٢ الفئة الثانية: تشتمل هذه الفئة مساحة تقدر بنحو (١٨٣,٩٥) كم٢ وبنسبة (٢٥,٣٢%) من مساحة الحوض، حيث يتراوح ارتفاعها بين (٤٣٠ - ٤٥٠) م.

الجدول (١) مساحة ونسبة التكوينات والرواسب الجيولوجية في حوض وادي سويف

نسبة %	المساحة كم٢	التكوينات والرواسب الجيولوجية	ت
٩٣,٩	٦٨٢,٦٢	تكوين أم رضمة	١
٣,٦	٢٥,٩٠	تكوين طيرات	٢
١	٧,٣٧	رواسب ملء المنخفضات	٣
١,٥	١٠,٥٣	رواسب ملء الوديان	٤
١٠٠	٧٢٦,٤٢	المجموع	٥

المصدر: جمهورية العراق، وزارة الصناعة والمعادن، الشركة العامة للمسح الجيولوجي والتعدين الخريطة الجيولوجية لوحدة (الدبوسية، جديدة عرعر) بمقاييس ١:٥٠٠٠٠ لعام ١٩٩٥.

الخريطة (٢) تكوينات ورواسب حوض وادي سويف



المصدر: جمهورية العراق، وزارة الصناعة والمعادن، الشركة العامة للمسح الجيولوجي والتعدين الخريطة الجيولوجية لوحدة (الدبوسية، الجديدة عرعر) بمقاييس ١:٥٠٠٠٠ لعام ١٩٩٥، بالاعتماد على برنامج Arc GIS 10.5.

٤،٣ - الفئة الثالثة: يتراوح ارتفاع هذه الفئة بين (٤٨٠ - ٤٦٠) م، وتعد من أكثر الفئات اشغالاً لمساحة في منطقة الدراسة إذ بلغت (١٨٥,٠٧) كم٢، وبنسبة (٤٨,٤٨٪) من مجموع مساحة المنطقة، يتركز وجودها في وسط حوض الدراسة.

٤،٤ - الفئة الرابعة: يبلغ ارتفاع هذه الفئة بين (٤٩٠ - ٥٢٠) م، وتشغل مساحة قدرها نحو (١٥٣,٦٣) كم٢، وبنسبة بلغت (٢١,١٥٪) من مساحة الحوض.

٤،٥ - الفئة الخامسة: وهي من أكثر الفئات ارتفاعاً في المنطقة التي يتراوح ارتفاعها بين (٥٣٠ - ٥٧٠) م، التي يتركز وجودها في الأجزاء العليا من منابع الحوض، إذ سجلت أقل فئة من حيث المساحة بلغت (٧١,١٤) كم٢ وبنسبة بلغت (٧٩,٦٩٪) من مساحة الحوض ومن الواضح أن لهذا الارتفاع أثراً واضحاً على مورفوتكتونية الحوض فالمناطق المرتفعة داخل الحوض عن الأراضي المجاورة لها اثر واضح على مجرى الشبكة المائية للحوض.

٤،٦ - التربة: تعد ترب منطقة الدراسة من الترب الروسوبية التي تكونت بفعل التربسات التي يحملها حوض وادي سويف والتربسات الناتجة بفعل الرياح، إذ يتبيّن من معطيات الجدول (٣) والخرائط (٤) تصنيف التربة في منطقة الدراسة إلى ثلاثة أنواع هي:

٤،٦،١ - تربة صحراوية حصوية: وهي أكثر أنواع الترب التي توجد في أغلب أجزاء منطقة الدراسة، حيث تبلغ مساحتها نحو (٧٠٨,٥٢) كم٢ ونسبتها كانت (٥٢,٨٦٪) من مجموع مساحة منطقة الدراسة وهي ترب تميّز بأنها ذات نسجة رملية مزيجية ومن الملاحظ فيها ارتفاع نسبة الحصى، فضلاً عن أنها ترب تقل فيها نسبة المادة العضوية بسبب الجفاف وقلة الغطاء النباتي [١، ص ٢٢٥].

٤،٦،٢ - تربة ملء المنخفضات: تغطي هذه الترب غالبية المنخفضات الصحراوية في المنطقة التي تظهر في أجزاء متفرقة لاسيما عند منطقة المصب وتمتاز بأنها ترب ذات نسجة رملية مزيجية وهي جيدة الصرف وترتفع فيها نسبة المادة العضوية، وهي أقل الترب انتشاراً في الحوض إذ تشغّل مساحة قدرها (٣,٧٧) كم٢ ونسبة (١٪) من مساحة الحوض الكلية.

٤،٦،٣ - تربة ملء الوديان: هي التربة التي تمتد في بطن وادي سويف الرئيس والشبكة المائية الفرعية التي تعد من الترب الروسوبية بفعل مياه الأمطار الساقطة على مجاري الودي بعد انخفاض سرعتها وتتميّز بأنها ترب ذات نسجة رملية مزيجية ترتفع فيها نسبة الغرين والطين مع مزيج رملي وحصوي خشن وناعم مختلط، حيث تشغّل مساحتها نحو (٥٣,٥٠) كم٢ ونسبة بلغت (١,٥٪) من إجمالي مساحة المنطقة.

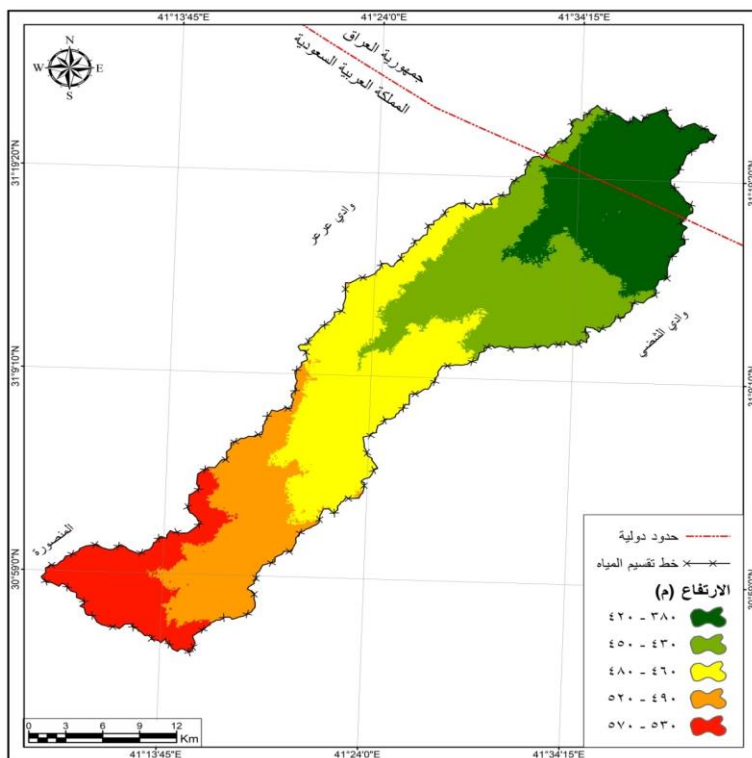
الجدول (٢) مساحة ونسبة مستويات السطح في حوض وادي سويف

الفئات	مستويات الارتفاع م	المساحة كم٢	النسبة %
١	380 - 420	132.63	18.26
٢	430 - 450	183.95	25.32
٣	460 - 480	185.07	25.48
٤	490 - 520	153.63	21.15
٥	530 - 570	71.14	9.79

١٠٠	٧٢٦.٤٢	المجموع	٦
-----	--------	---------	---

المصدر: اعتماداً على برنامج Arc GIS 10.5

الخريطة (٣) مستويات السطح في حوض وادي سويف



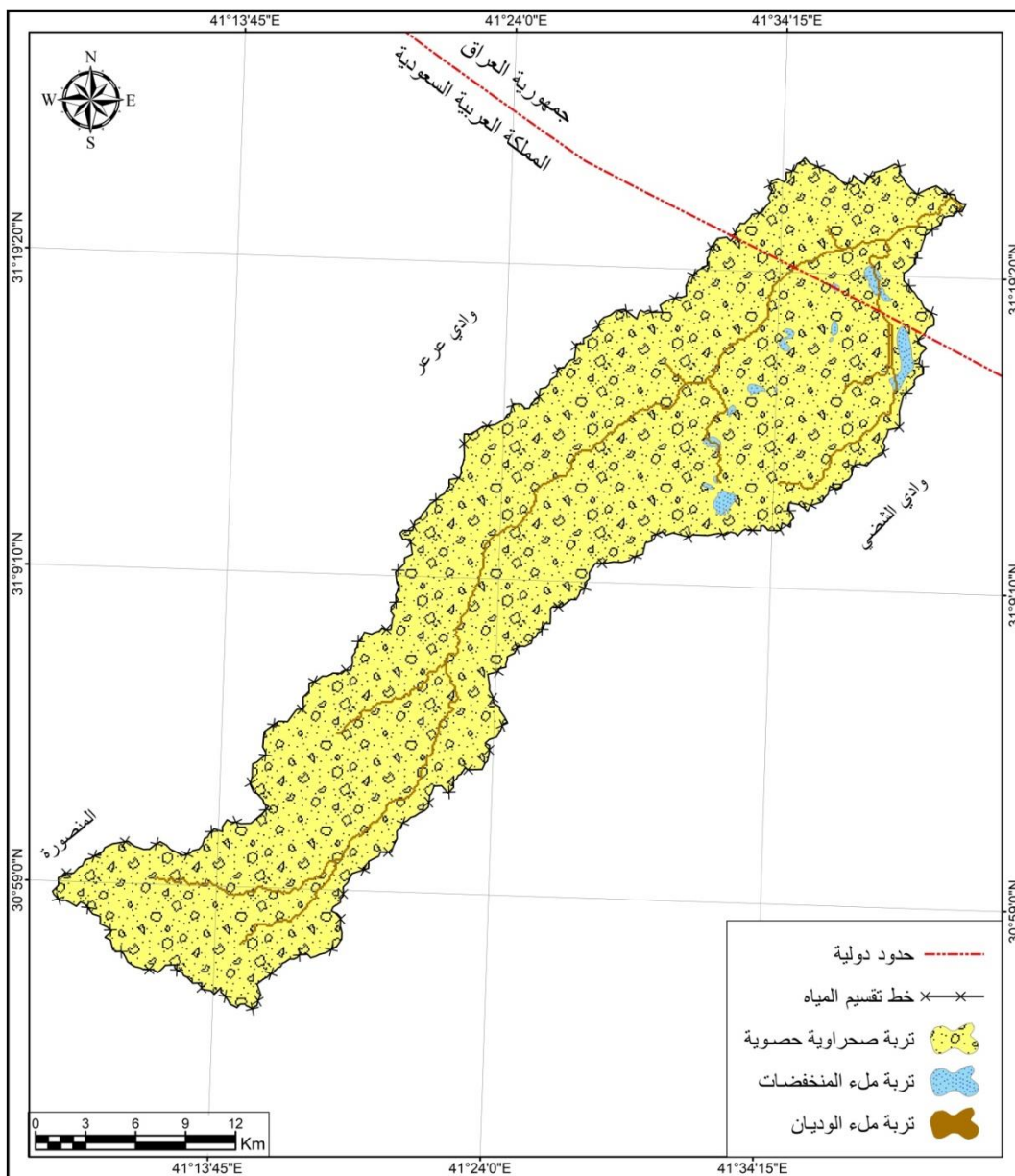
المصدر: اعتماداً على برنامج DEM وبرنامج Arc GIS 10.5 والجدول (٢)

الجدول (٣) المساحة والنسبة المئوية لأنواع التربة في حوض وادي سويف

نوع التربة	المساحة كم²	النسبة %	ت
ترية صحراوية حصوية	٧٠٨,٥٢	٩٧,٥	١
ترية ملء المنخفضات	٧,٣٧	١	٢
ترية ملء الوديان	١٠,٥٣	١,٥	٣
المجموع	٧٢٦,٤٢	١٠٠	٤

المصدر: اعتماداً على برنامج Arc GIS 10.5

الخريطة (٤) أنواع الترب في حوض وادي سويف



Arc GIS 10.5 اعتماداً على برنامج The Digital Soil Map of The World/HWSD, (Version 1.2) 1/5000000-2009

٤- الغطاء النباتي: يمكن معرفة حجم الغطاء النباتي في منطقة الدراسة من دليل الغطاء الخضري (NDVI) الذي شمل أربعة فئات يمكن تناولها بالآتي:

٥- أراضٍ جرداء: هي مناطق جرداة خالية من الغطاء النباتي من مؤشر NDVI وأن غطاءها النباتي قليل جداً يتراوح بين (٠.١ - ٠.٠)، وهي من أكثر المناطق مساحة في الحوض بلغت ما يقارب (٤٤١,٢٦) كم٢، وبنسبة (٦٠,٧٤٪) من مساحة الحوض.

٤- غطاء نباتي فقير: تمتاز بوجود نباتات مبعثرة في أغلب أجزاء الحوض مشكلة نباتات فقيرة في تواجدها يظهر ذلك من مؤشر (NDVI) يتراوح بين (٠.١١ - ٠.٠٢) بمساحة بلغت نحو (٢٨١,٨٧) كم٢ ونسبتها (٣٨,٨٪) من مساحة الحوض، وهي نباتات صحراوية استطاعت مقاومة ظروف الجفاف في المنطقة.

٤-٣- غطاء نباتي قليل: توجد هذه النباتات بالقرب من الحدود العراقية السعودية مشكلة غطاء نباتي قليل يتراوح بين (٠.٢١ - ٠.٠٣) حسب مؤشر NDVI حيث تبلغ مساحتها نحو (٣,٠٢) كم٢، وبلغت نسبتها نحو (٤٢٪) من المساحة الكلية للمنطقة.

٤-٤- غطاء نباتي متوسط: توجد هذه النباتات عند نهاية الحوض حيث يتراوح غطائها النباتي (٠.٣١ - ٥٠.٠) حسب مؤشر NDVI وشغل هذا الغطاء النباتي سجل مساحة قليلة (٠.٢٧) كم٢، ونسبتها (٤٪) من مجموع مساحة منطقة الدراسة.

٥- المناخ: للمناخ وعناصره المختلفة أثر كبير على الخصائص الهيدرولوجية في جميع المناطق لكونه يحدد كمية التصريف المائي، وأن له أثر واضح في تكوين الجريان الأقصى للمياه، درست الخصائص المناخية بالاعتماد على بيانات موقع Climate data.org لاستخراج البيانات المناخية المسجلة لمحطة عرعر، العراق-رفاء، السعودية (للمدة من ٢٠٠٠ - ٢٠٢٣) ويمكن تناول أهم عناصر المناخ في حوض منطقة الدراسة على النحو الآتي:

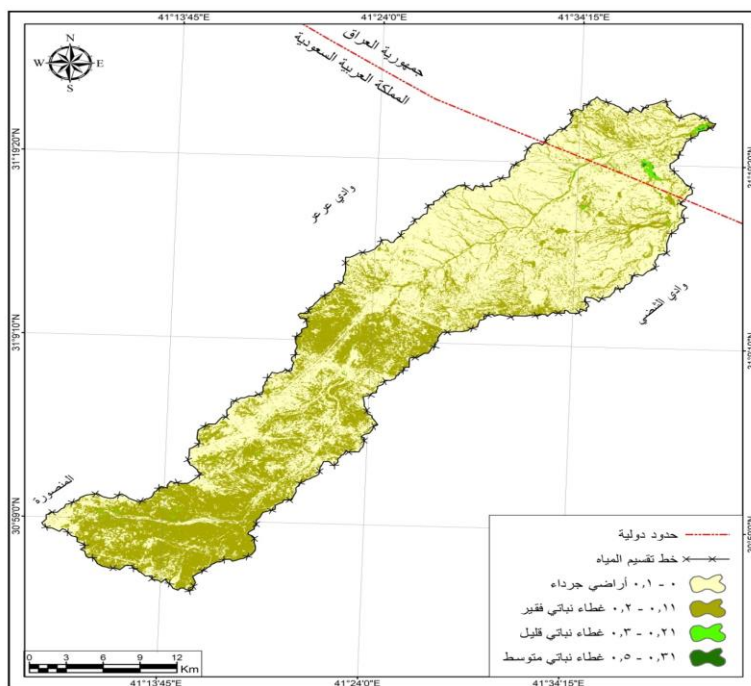
٥-١- درجات الحرارة: يتضح من الجدول (٥) أن المعدل السنوي لدرجات الحرارة في محطة عرعر بلغ (٢٢,٧) م. وسجل شهر تموز أعلى معدل لدرجات حرارة بلغت (٣٥,٨) م، بينما سجلت أقل معدل لدرجة حرارة في شهري (كانون الثاني، وكانون الأول) بلغت (٩,٣، ١٠,٩) م على التوالي، أما في محطة رفقاء فقد بلغ المعدل السنوي (٢٣,٤) م، وسجل شهري (تموز) أعلى معدل لدرجات حرارة بلغت (٣٥,٩) م، بينما سجلت أقل معدل لدرجة الحرارة في شهري (كانون الثاني، وكانون الأول) بلغت (١١,٩، ١٠) على التوالي.

الجدول (٤) مساحة ونسبة الغطاء النباتي حسب مؤشر NDVI في حوض وادي سويف

نسبة %	المساحة كم²	حسب مؤشر NDVI	ت
60.74	441.26	أراضٍ جرداء	١
38.8	281.87	غطاء نباتي فقير	٢
0.42	3.02	غطاء نباتي قليل	٣
0.04	0.27	غطاء نباتي متوسط	٤
100	726.42	المجموع	٥

المصدر: اعتماداً على برنامج Arc GIS 10.5

الخريطة (٥) تصنيف الغطاء النباتي حسب مؤشر (NDVI) لحوض منطقة الدراسة



المصدر: اعتماداً على برنامج Arc GIS 10.5

الجدول (٥) المعدلات السنوية والشهرية لدرجات الحرارة في محطات منطقة الدراسة

الشهر	محطة عرعر	محطة رفقاء
كانون الثاني	٩,٣	١٠
شباط	١١,٦	١٢,٥
آذار	١٦,٣	١٧,٥
نيسان	٢٢,٧	٢٣,٧
أيار	٢٨,٢	٢٩,٦
حزيران	٣٢,٩	٣٣,١
تموز	٣٥,٨	٣٥,٩
آب	٣٤,٥	٣٤,٩
أيلول	٢٩,١	٢٩,٩
تشرين الأول	٢٤,٤	٢٤,٥
تشرين الثاني	١٦,٧	١٧,٤
كانون الأول	١٠,٩	١١,٩
المعدل السنوي	٢٢,٧	٢٣,٤

المصدر: اعتماداً على Climate data.org

٥- الموازنة المائية المناخية: يبدأ التساقط المطري في منطقة الدراسة من شهر تشرين الأول ويتضاعل تدريجياً حتى شهر حزيران، وبسبب طبيعة المناخ الصحراوي فإن التساقط المطري في منطقة الدراسة يتصرف بالتذبذب، وأن فقدان قسم منه عن طريق التبخّر أو التسرب إلى باطن التربة، إذ يمكن وصف الأمطار التي تسقط على حوض منطقة الدراسة بأنها أمطار فجائحة فهي تسقط بكثيات كبيرة خلال العاصفة المطرية وفي وقت قصير بحيث تكون كميّتها أكثر بكثير من معدل التساقط ضمن البيانات المناخية لمحطات الدراسة، مما يسبّب حدوث سيلات فجائحة وجريان سطحي سريع في المنطقة باتجاه المنخفضات الصحراوية أو باتجاه مصب الوادي.

يتبيّن من معطيات الجدول (٦) وجود عجز مائي في فصل الصيف يبدأ من شهر أيار وحتى شهر أيلول بسبب ارتفاع درجات الحرارة وقلة التساقط المطري أو انعدامه وارتفاع قيمة التبخّر، بلغ مجموع العجز المائي لمحطة عرعر في شهر (تموز) نحو (٥١٢) ملم، بينما سجل أعلى عجز مائي في محطة رفقاء في شهر (حزيران) يقدر بـ (٤٩٠,٦) ملم، بينما بقيّة الشهور ولا سيما (كانون الأول، وكانون الثاني، وشباط، وتشرين الثاني) هي من أكثر الشهور التي يتوقّع فيها حدوث جريان سطحي سيلي بسبب ارتفاع فرص التساقط المطري فيها.

الجدول (٦) الموازنة المائية المناخية لمحطات منطقة الدراسة

محطة رفقاء			محطة عرعر			الأشهر
الفائض أو العجز	التبخّر	الأمطار	الفائض أو العجز	التبخّر	الأمطار	
٦٨-	٨٥,٢	١٧,٢	٦٥-	٨٠,١	١٥,١	كانون الثاني
٨٢,٢-	٩٩,١	١٦,٩	٩٦,١-	١١١	١٤,٩	شباط
١٧٤,٨-	١٨٨,١	١٣,٣	١٧٢,٤-	١٨٥,١	١٢,٧	آذار
٢٦١,٥	٢٧٠,٦	٩,١	٢٥٢,٢-	٢٦٠,٢	٨	نيسان
٣٧٦,٦	٣٨١	٤,٤	٣٧١,٩-	٣٧٥	٣,١	أيار
٤٩٠,٦-	٤٩١,١	٠,٥	٤٨٦,٩-	٤٨٧	٠,١	حزيران
٤١٨,٣-	٤١٨,٣	٠	٥١٢-	٥١٢	٠	تموز
٤٥١,١-	٤٥١,١	٠	٤٧٦,٢-	٤٧٦,٢	٠	آب
٣٤٩,٩-	٣٤٩,٩	٠	٣٥٠,٣-	٣٥٠,٣	٠	أيلول
٢٢٣,٩-	٢٣١	٧,١	٢٤٥,٨-	٢٥٢,٧	٦,٩	تشرين الأول
٧٩,٦-	١٠٠,٢	٢٠,٦	١٠١٧-	١٢٠,٥	١٨,٨	تشرين الثاني
٥٥,٣-	٧١,٢	١٥,٩	٦٧,٥-	٨١,٤	١٣,٩	كانون الأول
١٦٤٥-	٣١٣٦,٨	١٠٥	٤١١٣,٣-	٣٢٩١,٥	٩٣,٥	المجموع

المصدر: اعتماداً على : Climate data.org

ثانياً- تطبيق نموذج (Snyder) في حوض وادي سويف:

تهتم أغلب الدراسات الهيدروجيولوجية بدراسة الأحواض المائية بتقدير حجم الجريان أو عمق السطحي أو تقدير خطر السيول ونتيجة لصعوبة معرفة موجات السيول المائية الناتجة بفعل التساقط المطري، وأن هناك

صعوبة في قياس التصرف المائي أثناء مدة العاصفة المطرية ولافتقار منطقة الدراسة إلى محطة لقياس كمية التدفق المائي في حوض الدراسة، اعتمدنا على نموذج (Snyder) الذي حقق نجاحاً في التطبيق في الأعوام الأخيرة بفعل التعديلات التي قام بها عدد من الهيدروجيولوجيين [٥٧، ص ٢] ولتطبيق النموذج لابد من اتباع عدة مرحل، كل مرحلة ممثلة بمعادلة رياضية أساسية لاشتقاق وحدة الهيدروغراف [٣، ص ٣٨٧] وفي ما يلي عرض نموذج تلك المعادلات بالاعتماد على بيانات الجدول (٧).

الجدول (٧) المتغيرات الرئيسية لمعادلات نموذج (Snyder)

وحدة القياس	النتائج	المتغيرات	ت
كيلو متر مربع	٧٢٦,٤٢	مساحة الحوض	١
كيلو متر	٦٦,٩٨	طول الحوض	٢
متر	٥٧٠	أعلى ارتفاع للحوض	٣
متر	٣٨٠	أدنى ارتفاع للحوض	٤
متر	١٩٠	فارق الارتفاع	٥
متر	١٦٣٧	عرض الحوض	٦
درجة	٢,٨	درجة انحدار الحوض	٧
كيلو متر	٦٩٨,٧	مجموع اطوال مجاري الحوض	٨

المصدر: اعتماداً على مخرجات برنامج GIS 10.5

١- زمن التركيز: Time of Concentration (TC) وهو المدة الزمنية اللازمة لمياه الأمطار للانتقال من منبع الحوض إلى مصب الحوض، ومتانز الأحواض التي تسجل فيها مدة تركيز قصيرة باحتمالية حدوث الفيضانات، إن زمن التركيز أحد أهم عنصر متغير من العناصر الهيدرولوجية في الحوض المائي؛ لأن الشدة المطرية الساقطة التي تفوق مدتها زمن التركيز بالإمكان أن تؤدي إلى تشكيل جريان سطحي في الحوض محدثة سيلولا وفيضانات في المنطقة، واستمرار زمن التركيز في الحوض تم الاعتماد على ما يلي [٤، ص ١١١]:

$$TC = 75 \frac{4(S)^{0.5} + (1.5 L)}{0.8(H)^{0.5}}$$

TC = زمان التركيز بالدقيقة

S = درجة انحدار الحوض

L = طول مجاري الحوض من المنبع إلى المصب (كم)

H = فارق الارتفاع بين أعلى نقطة وادنى نقطة في الحوض (م)

من تطبيق المعادلة في حوض وادي سويف كما موضح في الجدول (٨) بلغ زمن التركيز (٧٢٩,٣١) دقيقة، بينما بلغ زمن التركيز بالساعة نحو (١٢,١٥) وهي قيمة عالية بسبب كبر مساحة الحوض، فضلاً عن تباين في الارتفاعات والانحدارات وهذا يؤثر على وصول موجة الفيضان إلى منطقة المصب بشكل سريع بعد التساقط المطري.

الجدول (٨) زمن التركيز لحوض وادي سويف

زمن التركيز دقيقة (٧٩)	زمن التركيز الساعة (٧٩)	فارق الارتفاع (H) م	طول مجاري الحوض (L) كم	درجة انحدار الحوض (S)	الحوض
٧٢٩,٣١	١٢,١٥	١٩٠	٦٦,٩٨	٢,٨	سويف

المصدر: اعتماداً على بيانات الجدول (٧) ونتائج معادلة (٧)

- **زمن التباطؤ:** (TP) هو المدة من الزمن الذي يفصل بين ذروة الهطول المطري وذروة التدفق ويعد أحد أهم المتغيرات الهيدرولوجية التي لها أثر مباشر على طول المجرى الرئيسي ومركز نقل الحوض، وكلما زادت قيمة (Ct) زاد زمن استجابة الحوض للوصول إلى ذروة التدفق، بينما إذا انخفضت قيمة (Ct) يعني زيادة انحدار الحوض ومن ثم تناقص القيم الزمنية الأخرى، ويمكن قياسه بالاعتماد على ما يأتي [٥، ص ٢٤٨]:

$$TP(hr) = CT(L \times Lca)^{0.3}$$

= TP هو زمن التباطؤ بالساعة

= Ct يعبر عنه بمعامل زمن تدفق الذروة وتبلغ قيمته (٠,٢ - ٢٠,٢)

= L طول مجاري الحوض المائي من منطقة المنبع إلى منطقة المصب (كم)

= Lca المسافة الفاصلة بين مصب الوادي (نهايته) وبين ومركز نقلة (كم)

وعند تطبيق المعادلة في حوض الدراسة كما في الجدول (٩) لوحظ أن زمن التباطؤ لحوض وادي سويف بلغ (٦١,٩٦) دقيقة، بينما بلغ الزمن نفسه بالساعة ما يقارب (١٧,١٩) ويرجع ارتفاع قيم زمن التباطؤ بالساعة أو بالدقيقة إلى كبر مساحة الحوض وتبين خصائص المورفومترية والأهم من ذلك طول مسافة مركز النقل التي بلغت نحو (٤,٤) كم، الأمر الذي أدى إلى زيادة الجريان السطحي.

الجدول (٩) زمن التباطؤ (TP) بالساعة والدقيقة في حوض وادي سويف

زمن التباطؤ بالساعة (TP)	زمن التباطؤ الدقيقة (TP)	مسافة مركز النقل (Lca) كم	طول مجاري الحوض (L) كم	معامل (Ct)	الحوض
١٧,١٩	٦١,٩٦	٣٣,٤٤	٦٦,٩٨	١,٧	سويف

المصدر: اعتماداً على بيانات الجدول (٧) ونتائج معادلة (٧)

- **المدة المثالية لذروة هطول التساقط المطري (Tr)** هي المدة الزمنية المثالية التي تبدأ عند التساقط المطري حتى حدوث الجريان المائي في الحوض بعد استخراج الفاقد منها بالتسرب والتاخر، وبعد هذا العامل من أهم المؤشرات الهيدرولوجية التي لها علاقة وثيقة بالخصائص الطبيعية للحوض ومن أبرزها التراكيب الجيولوجية والانحدارات، ولمعرفة المدة الزمنية لذروة هطول الأمطار يمكن الاعتماد على الآتي [٦، ص ٣٥]:

$$Tr(hr) = \frac{Tp(hr)}{5.5}$$

Tr = المدة المثالية لذروة التساقط المطري — (ساعة)

Tp = زمن الاستجابة للحوض المائي — (الساعات)

ومن تمثيل المعادلة في وادي سويف كما مبين في الجدول (١٠) لوحظ ان الزمن المثالي (Tr) بالساعة بلغ (٣,١٢)، بينما بلغ الزمن بالدقيقة (١٨٧,٥)، ويتبين مما سبق أن قيم الزمن المثالي في حوض منطقة الدراسة هي قيم متوسطة وهذا يرجع إلى شدة التضرر في أجزاء مختلفة من منطقة الدراسة لاسيما المناطق التي ت湊ون عند منابع الحوض، فضلاً عن الاختلاف في البنية الصخرية وطبيعة نطاق التربة يسبب ذلك تفاوت في استجابة الحوض لجريان المائي.

الجدول (١٠) الزمن المثالي لهطول الأمطار في حوض وادي سويف

الزمن المثالي (Tr) بالدقيقة	الزمن المثالي (Tr) بالساعة	(Tp) بالساعة	الحوض
١٨٧,٥	٣,١٢	١٧,١٩	سويف

المصدر: اعتماداً على بيانات الجدول (٩) ونتائج معادلة (Tr)

٤- **كمية التدفق الأعلى للسيول QP:** وهو أقصى كمية لتدفق لجريان المائي في الحوض بعد العاصفة المطرية التي تتولد عنها سيول مائية، ويمكن قياس ذلك في حوض وادي سويف من خلال الآتي [٧، ص ٢٤٢]:

$$QP (M^3 \cdot S) = \frac{Cp \times A}{Tp(hr)}$$

Qp = كمية التدفق الأعلى للسيول ($m^3/\text{ث}$)

CP = معامل تدفق المياه تتراوح قيمته (٢ - ٦,٥) واختيار الرقم (٤,٢) لملامعته حوض الدراسة

A = مساحة الحوض (كم^2)

Tp = مدة الاستجابة للحوض للمياه (الساعات).

ومن المعادلة أعلاه وكما مبين في الجدول (١١) تبين أن كمية التدفق الأقصى للسيول في حوض وادي سويف بلغت نحو (١٧٧,٤٨) $m^3/\text{ث}$ وهذه القيمة ترداد مع زيادة الانحدار في الحوض.

الجدول (١١) التدفق الأقصى للسيول في حوض وادي سويف

التدفق الأقصى (Qp) ($m^3/\text{ث}$)	زمن التباطؤ (Tb) بالساعة	مساحة الحوض كم (A) (m^2)	الحوض
١٧٧,٤٨	١٧,١٩	٧٢٦,٤٢	سويف

المصدر: اعتماداً على بيانات الجدول (١٠) ونتائج معادلة (Qp)

٥- **زمن الأساس للسيول Tb:** هو المدة من الزمن لحدوث السيول المائية في الحوض من منطقة المنبع حتى منطقة المصب وتحسب باليوم، وحساب ذلك بالمعادلة الآتية [٨، ص ١٢٦]:

$$Tb(Days) = 3 + \left(\frac{tb(hr)}{8} \right)$$

Tb = زمن الأساس للسيول (باليوم)

$Tb(hr)$ = مدة الاستجابة المائية للحوض عند سقوط الأمطار — (الساعة)

من المعادلة وكما مبين في الجدول (١٢) بلغ زمن الأساس للسيل (T_p) نحو (٤٥١) يوم، بينما سجل زمن الأساس للسيل بالساعة نحو (٥٧٢١) ويلاحظ من ذلك وجود علاقة طردية بين زمن السيول وزمن التباطؤ في حوض منطقة الدراسة.

الجدول (١٢) زمن الأساس للسيول (ساعة، يوم) في حوض وادي سويف

زمن التباطؤ (T_b) بالساعة	زمن الأساس للسيول (يوم)	زمن الأساس للسيول (T_p) (ساعة)	الحوض
٥٧٢١	٤٥١	١٢٣,٥٧	سويف

المصدر: اعتماداً على بيانات الجدول (١١) ونتائج معادلة (T_p)

٦- مدة الارتفاع بالتدريج لتدفق السيول (T_m): هي المدة اللازمة لمياه الأمطار من أجل الارتفاع التدريجي في قاع الأودية المائية بعد حدوث التشبع السطحي ويحسب ذلك بما يلي [٩، ص ٤٥]:

$$T_m(hr) = \frac{1}{3} tb(Days)$$

= T_m : (hr) = المدة الزمنية لارتفاع بالتدريج لتدفق السيول.

= T_b : (days) = زمن الأساس للسيول (يوم)

ومن تطبيق المعادلة أعلاه وكما موضح في الجدول (١٣) بلغت مدة الارتفاع التدريجي للسيل (١٧١) ساعة، بينما سجلت نحو (٠٠٧١) يوما.

٧- مدة الانخفاض التدريجي للسيل (T_d): هي المدة الزمنية التي يستغرقها السيول من أجل انخفاض منسوب مياهه وعودة جريانه السطحي إلى وضعه الطبيعي، الذي يمكن أن نعبر عنه وفق المعادلة الرياضية الآتية [٣، ص ١٠].

$$T_d(hr) = \frac{2}{3} tb(hr)$$

حيث إن:

= T_d : (hr) = المدة الزمنية اللازمة لانخفاض التدريجي للسيول (بالساعة)

= tb : (hr) = زمن الأساس للسيول بالساعات.

عند تطبيق المعادلة وكما موضح في الجدول (١٣) لوحظ أن مدة الانخفاض التدريجي للسيل في حوض وادي سويف قد بلغت نحو (٨٢,٣٨) ساعة، نستنتج من ذلك أن زيادة مدة الانخفاض التدريجي لتدفق السيول يرتبط بعلاقة طردية مع قيمة التباطؤ (T_b).

الجدول (١٣) مدة الارتفاع والانخفاض التدريجي للسيول في حوض وادي سويف

الحوض	(T_m) بالساعة	(T_p) باليوم	(T_d) بالساعة
سويف	١,٧١	٠٠٧١	٨٢,٣٨

المصدر: اعتماداً على نتائج معادلة (T_m) ومعادلة (T_d)

- سرعة جريان السيول (V): وهو مقدار سرعة الجريان (السطحى) في المجرى النهري في وحدة زمنية معينة، ويمكن القول: إن قياس سرعة الجريان السطحى يعد مؤشراً مهماً لمعرفة خطورة حوض التصريف أثناء مدة حدوث الجريان، ويمكن أن نعبر عنه بالآتي [١٩٠-١٩١، ص ١١]:

$$V(KM : hr) = \frac{l(km)}{tc(hr)}$$

V = سرعة جريان السيول (كم/ ساعة)

L = طول حوض التصريف (كم)

TC = زمن الترکیز (ساعة)

من المعادلة وكما مبين بالجدول (١٤) ان السرعة للجريان المائي السطحية بلغت ما يقارب (٥,٥١) كم/ ساعة، في حوض وادي سويف وهي سرعة متوسطة ويرجع السبب في ذلك إلى تضرس الحوض وتتوح السطح، فضلاً عن وجود بعض المرتفعات المحلية والمنخفضات الصحراوية التي يمكن أن تقلل من السرعة للوصول إلى حجم التدفق المائي لمنطقة عند نهاية الحوض.

الجدول (١٤) سرعة الجريان المائي (السطحى) (V) في منطقة الدراسة

الحوض	طول حوض التصريف (L) (كم)	زمن الترکیز (TC) (ساعة)	سرعة الجريان (V) (كم/ ساعة)
سويف	٦٦,٩٨	١٢,١٥	٥,٥١

المصدر: اعتماداً على بيانات الجدول (٧ و ٨) ونتائج معادلة (V)

- حجم الجريان المائي (السطحى) (Qt): هو مقدار كمية المياه الجارية في الشبكة المائية لتصريف الوادي ويحدث هذا الجريان عندما تزداد كمية الأمطار الساقطة عن كمية الفاقد، ومن ثم يكون هناك فائض مائي، ويمكن

قياس ذلك بالاعتماد على الآتي [١٢، ص ٥٧]:

$$Qt(m^3 : s) = \sum L(KM)^{0.85}$$

Qt(m³/s) = حجم الجريان السطحي (م^٣/ثا)

$\sum L(km)$ = مجموع اطوال مجاري الحوض (كم)

ومن تمثيل معطيات المعادلة أعلاه على المنطقة وكما مبين في الجدول (١٥) بلغ حجم الجريان السطحي (٢٦١,٦) م^٣/ثا وهي كمية كبيرة من الجريان السطحى يمكن الإفاده من حصادها لأغراض متعددة من الاستعمالات في الوادي.

الجدول (١٥) كمية الجريان المائي (السطحى) لحوض وادي سويف

الحوض	مجموع اطوال مجاري الحوض (L) كم	حجم الجريان السطحي (Qt) م ^٣ /ثا
سويف	٦٩٨,٧	٢٦١,٦

المصدر: اعتماداً على بيانات الجدول (٧) ونتائج معادلة (Qt)

١٠ - تدفق الذروة النوعية للحوض (qp): يعبر عنها بأنها كمية الجريان الأقصى للسيول لكل (كم² واحد) ويمكن استخراجها بالاعتماد على الآتي [١٣، ص ٥٧٧]:

$$qp(m^3 \cdot s \cdot km^2) = \frac{Qp m 3 \cdot s}{a(km^2)}$$

qp = قيمة الجريان المائي ($m^3/\text{ث}/\text{كم}$)

QP = قيمة أعلى تدفق للوادي ($m^3/\text{ث}$)

A = المساحة (كم^2)

من المعادلة أعلاه وكما مبين في الجدول (١٦) نجد أن قيمة التدفق النوعي لحوض وادي سويف بلغت ($0,244 \text{ m}^3/\text{ث}/\text{كم}$ ، وهذا يتاسب بشكل عكسي مع مساحة الحوض المائي).

١١ - المدة الزمنية (W_{75} W_{50}): هي المدة الزمنية التي تكون ملائمة لارتفاع منسوب السيل عند المستوى (W_{75} W_{50}) من تصريف التدفق النوعي للحوض يكون تقديره ($m^3/\text{ث}$) ويكون استخراجها بالاعتماد على المعادلتين الآتتين [٤، ص ٧٥]:

$$W_{50}(hr) = \frac{5.6}{(qp)^{1.08}}$$

$$W_{75}(hr) = \frac{3.21}{(qp)^{1.08}}$$

حيث إن:

(W_{75}) = المدة الزمنية التي تكون مناسبة للسيول (ساعة)

qp = نوعية التدفق للوادي ($m^3/\text{ث}/\text{كم}$)

ومن المعادلة وكما يتضح من الجدول (١٦) بلغت المدة الزمنية المثلالية لارتفاع السيل (منحنى السيل الهيدروغراف) من تدفق الذروة عند المستوى (W_{50}) في حوض وادي الدراسة ($25,80$) ساعة، نستنتج مما ذكر أن المدة الزمنية للسائل نقل عند المستوى (W_{50}) كلما صغرت المساحة يؤشر ذلك وجود علاقة طردية بين المدة الزمنية والمساحة للحوض المائي. أما عند تطبيق تدفق الذروة عند المستوى (W_{75}) فقد بلغت المدة الزمنية في الحوض نحو ($14,79$) ساعة، ويوضح مما سبق أن المدة الزمنية التي ذكرت أعلاه تتناسب بشكل طردي مع مساحة الحوض المائي.

الجدول (١٦) المدة الزمنية لارتفاع السيل في حوض وادي سويف

W_{75}	W_{50}	qp	الحوض
١٤,٧٩	٢٥,٨٠	٠,٢٤٤	سويف

المصدر: اعتماداً على نتائج معادلة (qp) و (W_{75} , W_{50})

١٢ - قوة جريان السيول في الحوض (A): يمكن معرفة قوة السيول في حوض وادي سويف بالاعتماد على المعادلة الآتية [٥، ص ٤٨٢]:

$$A(m^3 \cdot s \cdot km^2) = \frac{Qp m 3 \cdot s}{\sqrt{a}(km^2)}$$

A = قوة السيل ($m^3/\text{ث}/\text{كم}^2$)

QP = أعلى تدفق للسيول ($m^3/\text{ث}$)

a = المساحة (كم^2)

من المعادلة يلاحظ أن قوة السيل المائي قد بلغت نحو ($6,58 \text{ m}^3/\text{ث}/\text{كم}^2$ ، ويعزى سبب في ارتفاع قوة السيل في منطقة الدراسة إلى عامل تضرس المنطقة مع تباين في الانحدارات واتجاهاتها مما يزيد من خطورة السيل في الحوض.

١٣ - تركيز الأمطار المناسب لتدفق ذروة السيل (i): وهي أدنى كمية تساقط مطري التي عبرها يظهر الجريان المائي ويحصل ذلك بالاعتماد على ما يأتي [١٦، ص ١٢٦]:

$$i(cm \cdot hr) = \frac{1}{tr(hr)}$$

i = تركيز مياه الأمطار المناسب عند ذروة السيل (ستنمر / الساعة)

tr : = المدة التي تكون مثالية للتساقط المطري (ساعة) (hr)

يتضح من المعادلة أن تركيز الأمطار في الحوض سجل نحو ($0,32 \text{ سم}/\text{ساعة}$ ويرجع هذا الانخفاض إلى كبر مساحة الحوض المائي، فضلاً عن طبيعة أرضية الوادي التي تحتاج وقت أكثر لتدفق الجريان المائي فيها.

٤ - حجم تدفق السيل (AL): هو حجم السيل المتتدفق في الحوض المائي الذي يُحسب بالاعتماد على الآتي [١٧، ص ٣٧٩]:

$$AL(hm^3)(10^6 m^3) = QP(m^3 \cdot s)[tm(ses)10^{-6}]$$

AL = حجم تدفق السيل في الحوض المائي (مليون $m^3/\text{ث}$)

QP = أقصى تدفق للسيول ($m^3/\text{ث}$)

Tm = مدة الارتفاع التدريجي لتدفق السيل (ثا)

من المعادلة أعلاه نلاحظ أن حجم تدفق السيل بلغ نحو ($1,092 \text{ مليون } m^3/\text{ث}$ ويتضح مما ذكر أن حجم تدفق السيل يتاسب بشكل طردي مع مساحة منطقة الدراسة.

٥ - عمق الجريان المائي (السطح) المناسب لتدفق ذروة السيل (E): يُقاس بالاعتماد على الآتي [١٣٨، ص ٨]:

$$E(mm) = Qp(m^3 \cdot s)[(tm(ses) \times 10^{-3})(s^{-1}(km^2))]$$

E = عمق الجريان (ملم)

Tm = مدة الارتفاع التدريجي لتدفق السيول (ثا)

QP = أقصى تدفق للسيول ($m^3/\text{ث}$)

$$S = \text{المساحة (كم}^2\text{)}$$

من المعادلة نلاحظ أن عمق الجريان السطحي للحوض قد بلغ (١٤٩,٦) ملم، ويتبين أن عمق الجريان يتناسب بشكل عكسي مع مساحة الحوض أي إنه يزيد مع صغر المساحة وبالعكس.

الاستنتاجات:

- ١- بينت الدراسة أن حوض وادي سويف يتأثر بخصائص السطح وطبيعة وطبوغرافية المنطقة، فضلاً عن نوع التربة ودرجة كثافة البناء وتباينها المكاني حيث تؤثر بشكل كبير على كمية الجريان المائي.
- ٢- أكدت الدراسة أنه يمكن تطبيق نموذج (Snyder) لحساب حجم السيل المائي وبيان عمقه ودرجة خطورته، ويمكن تطبيقه على الأحواض المائية التي تفتقر إلى محطات لقياس حجم السيل وقوته.
- ٣- توصلت الدراسة إلى أن كمية التدفق الأعلى للسيل في حوض وادي سويف بلغت نحو (١٧٧,٤٨) م^٣/ثا، وأن سرعة الجريان السطحي قد بلغت ما يقارب (٥,٥١) كم/ساعة، فقد بلغ حجم تدفق السيل نحو (١,٠٩٢) مليون م^٣/ثا، وأن عمق الجريان السطحي للحوض قد بلغ (١٤٩,٦) ملم.

الوصيات:

- ١- توصي الدراسة باتخاذ الإجراءات اللازمة للحد من مخاطر السيول في حوض وادي سويف لاسيما المناطق التي تقع بالقرب من المجرى الرئيسي بمنع إقامة المشاريع المتعددة لتفادي الخسائر.
- ٢- توصي الدراسة بالإفادة من مياه السيول لاسيما التي تجتمع في المنخفضات الصحراوية في الوادي في النشاط الزراعي، توكل الدراسة إنشاء محطة هيدرولوجية وإقامة مشاريع حصاد المياه للإفادة منها في موسم الجفاف.

CONFLICT OF IN TERESTS

There are no conflicts of interest

المصادر:

- [١] وليد خالد العكيدى، علم البيولوجى (مسح وتصنيف الترب) دار الكتب للطباعة والنشر، جامعة الموصل، ١٩٨٦.
- [٢] محمد سعيد البارودى، تقدير أحجام السيول ومخاطرها عند المجرى الأدنى لوادي عرنه جنوب شرق مكة المكرمة باستخدام نرم المعلومات الجغرافية، سلسلة بحوث جغرافية، جامعة أم القرى، العدد (٤٨)، ٢٠١٢.
- [٣] عباس فاضل عبيد القراغولى، تقدير تصريف السيول ومخاطرها لحوض وادي جنى شمال شرق محافظة ميسان باستخدام نظم المعلومات الجغرافية GIS، مجلة كلية التربية، جامعة واسط، المجلد (٤٩)، العدد (٢)، ٢٠٢٢.
- [٤] محمود حسن عبد العزيز، أساسيات الهيدرولوجيا، شركة مطبع المطوع، الدمام - السعودية، ط١، ١٩٨٢.
- [٥] محمد عبد الرحيم الدالى، السيل الساحلى للبحر الأحمر من الحدود المصرية السودانية شمالاً حتى رأس أبو الشجرة جنوباً (دراسة في الجيومورفولوجيا التطبيقية) أطروحة دكتوراه (غير منشورة) معهد البحوث والدراسات الأفريقية، جامعة القاهرة، ٢٠١٢.

- [٦] فرمان محمد الجعدي، الخصائص الهيدرومورفومترية وخصائص السيول في أحواض السدود المقترحة على أودية علية في محافظة الخرج، الجمعية الجغرافية السعودية العدد (٨٤)، جامعة الملك سعود، ٢٠١٥.
- [٧] محمد بن فضيل بوروبية، هيدرومورفومترية لتقيير حجم السيول حوض وادي عتود، سلسلة إصدارات خاصة، مركز الخليج العربي، المجلد (١٦) العدد (٢١)، الكويت، ٢٠٠٧.
- [٨] رنا سلمان جادر الركابي، هيدرومورفومترية حوض وادي بليقان شرقى محافظة واسط باستخدام نظم المعلومات الجغرافية GIS، رسالة ماجستير (غير منشورة) كلية التربية للعلوم الإنسانية، جامعة واسط، ٢٠٢٣.
- [٩] اسماعيل جمعة كريم، رقمية أحمد محمد، تقيير خطر السيول لحوض وادي زراوة في السليمانية باستخدام نموذج سنایدر، مجلة آداب الفراهيدى، المجلد (١٢)، العدد (٤٣)، ٢٠٢٠.
- [١٠] هيفاء محمد النفيعي، تقيير الجريان السطحي ومخاطر، السيلية في الحوض الأعلى لوادي عرانه شرق مكة المكرمة بوسائل الاستشعار عن بعد ونظم المعلومات الجغرافية، رسالة ماجستير (غير منشورة) جامعة أم القرى، كلية العلوم الاجتماعية، ٢٠١٠.
- [١١] آيات جاسم محمد شامخ الفرطوسى، جيومورفولوجية المرابح الفيضية بين نهري الطيب والجباب واستثماراتها الاقتصادية، أطروحة دكتوراه (غير منشورة)، جامعة البصرة، كلية التربية للعلوم الإنسانية، ٢٠٢٠.
- [١٢] ولی خلف حمید الجبوري، حوض وادي الفضا في المنطقة المتموجة من العراق دراسة في الهيدرولوجيا التطبيقية، رسالة ماجستير (غير منشورة) كلية التربية، جامعة تكريت، ٢٠٠٥.
- [١٣] ضياء الدين عبد الحسين عويد، استبرق كاظم شبوط، عباس فاضل عبيد، النمذجة الكارتوغرافية لقياس تدفق السيول لوادي ترسخ وطلحة باستخدام نظم المعلومات الجغرافية GIS، مجلة لارك للفلسفة واللسانيات والعلوم الاجتماعية، العدد (٢٣)، ٢٠١٦.
- [١٤] أسامة عبد القادر محمد أمين، هيدروجيومورفولوجية حوض وادي خورخور في قضاء خانقين وأثيره في التنمية البيئية باستخدام تقانة نظم المعلومات الجغرافية والتحسس النائي، أطروحة دكتوراه، (غير منشورة) كلية الآداب، جامعة بغداد، ٢٠٢٠.
- [١٥] Raghunath H, m, Hydrology principles analysis and design; Wiley Limited New Eastern Delhi, 1991.
- [١٦] محمد حسين علي حميد الجبوري، تقيير حجم التعرية، في حوض جوکه سیور - ماو کیان دراسية جيومورفولوجية تطبيقية، رسالة ماجستير (غير منشورة) كلية الآداب، جامعة بغداد، ٢٠١٣.
- [١٧] عبد اهلل صبار العجيبي، التقييم الهيدرومورفومترى لحوض وادي هنجير هیاس في محافظة السليمانية، مجلة سر من رأى، المجلد (١٠)، العدد (٣٩)، ٢٠١٤.